

หน้า 40, 42 กรมกษ.เร.9จว.ค.๗๖๙๑

การเพิ่มผลผลิตของ

เอนไซม์เพนนิซิลิน เอซีเอส โดยการปรับปรุงพลาสมิดดีเอ็นเอ (pJR₆₉)



นางสาว พิชรากร ทิพรังกร

วิทยานิพนธ์นี้เป็นส่วนหนึ่งของการศึกษาตามหลักสูตร ปริญญาวิทยาศาสตรมหาบัณฑิต

หลักสูตร เทคโนโลยีทางชีวภาพ

บัณฑิตวิทยาลัย จุฬาลงกรณ์มหาวิทยาลัย

พ.ศ. 2530


ISBN 974-568-146-6

ลิขสิทธิ์ของบัณฑิตวิทยาลัย จุฬาลงกรณ์มหาวิทยาลัย

014290

I 10299191

ENHANCEMENT OF THE PENNICILLIN ACYLASE
PRODUCTION VIA RECONSTRUCTION OF PLASMID DNA (pJR₆₉)



Miss Pachrakorn Tiprungkorn

A Thesis Submitted in Partial Fullfillment of The Requirements

for The Degree of Master of Science

Biotechnology Programe

Graduate School

Chulalongkorn University

1987

ISBN 974-568-146-6

หัวข้อวิทยานิพนธ์ การเพิ่มผลผลิตของเอนไซม์ เพนนิซิลิน เอซีเลส โดยการปรับปรุง
พลาสมิด ดีเอ็นเอ (pJR69)

โดย นางสาวไพเราะกร ทิพรังกร

หลักสูตร เทคโนโลยีทางชีวภาพ

อาจารย์ที่ปรึกษา รองศาสตราจารย์ ดร.ไพเราะะ ทิพย์ทัศน์



บัณฑิตวิทยาลัย จุฬาลงกรณ์มหาวิทยาลัย อนุมัติให้รับวิทยานิพนธ์ฉบับนี้เป็นส่วนหนึ่ง
ของการศึกษาตามหลักสูตรปริญญาวิทยาศาสตรบัณฑิต

..... คณบดีบัณฑิตวิทยาลัย
(ศาสตราจารย์ ดร. ถาวร วีระรัมย์)

คณะกรรมการสอบวิทยานิพนธ์

..... ประธานกรรมการ
(อาจารย์ วิมล ชำวีวรรณ)

..... อาจารย์ที่ปรึกษา
(รองศาสตราจารย์ ดร.ไพเราะะ ทิพย์ทัศน์)

..... กรรมการ
(รองศาสตราจารย์ ดร. สันต์ พงษ์กุล)

..... กรรมการ
(รองศาสตราจารย์ ดร. ไพเราะะ ปันพานิชการ)

..... กรรมการ
(ผู้ช่วยศาสตราจารย์ ดร. ศิริพร สิริประณีต)

เนื่องจาก PCR₂₉ ยังคงลัมปัดของการเพิ่มจำนวนพลาสมิดดีเอ็นเอโดยการเพิ่ม
อุณหภูมิ จึงทำให้เป็นข้อได้เปรียบในการหาวิธีคัดสายพันธุ์ ซึ่งมีจำนวนพลาสมิดดีเอ็นเอสูงกว่า
โดยหลักการ sibling จากการทดลองได้นำ W21 ผ่านกระบวนการ sibling 2 ครั้ง
จึงแยกได้สายพันธุ์ที่ใช้อย่าง X25 และ Y324 และทั้งสองสายพันธุ์นี้มีพลาสมิดดีเอ็นเอชนิด
เดียวกัน แต่ทว่ามีความสามารถต้านยาเพนนิซิลินระดับต่างกัน ค่าแอกติวิตีสูงสุดที่พบในเซลล์
X25 และ Y324 มีค่าเท่ากับ 810 และ 1111 นาโนโมล PABA ต่อหน้าที่ต่อมิลลิกรัมโปรตีน
ตามลำดับ นำสังเกตว่าค่าแอกติวิตีสูงสุดที่พบใน Y324 มีค่าสูงถึง 48 เท่า เมื่อเทียบกับค่าที่วัด
ได้จากสายพันธุ์ E.coli ATCC 11105 ในสภาวะเดียวกัน

พบว่าการเติม ฟีนอลอะซิติก เอซิด(PAA) 0.02% และ MgCl₂ 1 mM ลงในอาหาร
อุดม นั้นก็เป็นเหตุหนึ่ง ที่ทำให้เกิดการชักนำทางพันธุกรรม และทำให้แอกติวิตีสูงสุดของ
เอนไซม์เพนนิซิลิน เอซีเลส เพิ่มขึ้น 2 เท่า ในขณะที่การเจริญสูงสุดยังมีค่าไม่ต่างจากก่อน
เติมสารดังกล่าว นอกจากนั้นเซลล์ที่ผ่านการ starve ในสภาวะที่เหมาะสมอย่างน้อย 4 ชั่วโมง
จะพบแอกติวิตีของเพนนิซิลิน เอซีเลส เพิ่มขึ้นอีก 2 เท่า เช่นกัน

ประการสุดท้าย ในการเพิ่มแอกติวิตีของเอนไซม์เพนนิซิลิน เอซีเลส ต่อจำนวนเซลล์
ทั้งหมด สามารถทำได้โดย การปรับความขุ่นของคัลเจอร์ หลังเปลี่ยนอุณหภูมิจาก 30 °ซ. เป็น 37 °ซ.
ให้ได้ประมาณ 400 KU ก่อนที่จะเปลี่ยนอุณหภูมิการเจริญกลับมาที่ 30 °ซ. จะสามารถทำให้
ความขุ่นสูงสุด เพิ่มขึ้นจาก 425 KU เป็น 600 KU ทำให้แอกติวิตีของเอนไซม์เพนนิซิลิน เอซีเลส
ทั้งหมดเพิ่มขึ้นตามความขุ่นที่เพิ่มขึ้นนี้

ศูนย์วิจัยทรัพยากร
จุฬาลงกรณ์มหาวิทยาลัย

Thesis Title Enhancement of The Penicillin Acylase Production
via Reconstruction of Plasmid DNA (pJR₆₉)
Name Miss Pachrakorn Tiprungkorn
Programme Biotechnology
Thesis Advisor Associated Professor Pairor Thipayathasana, Ph.D.
Academic Year 1986



Abstract

The aim of this research was to establish the enhancement of penicillin acylase biosynthesis from the strain of Escherichia coli K12 harboring the plasmid DNA called pJR₆₉. This pJR₆₉ possessed penicillin acylase gene which was tailored from Escherichia coli ATCC 11105 by Miss Jaranya Ngernprasirtsiri in 1985. The first confronted problem was the declination in the activity of penicillin acylase in accordance with the increment of the sub-culturing number. This event was found in any strain of E.coli which harbored pJR₆₉, regardless of the original genotype. Reconciliation of the enzymic activity was found in a strain screened from transformants harboring the new constructed plasmid DNA, called pCR₂₈. The average molecular size of pCR₂₈ was 5.5 Kb. However, it gave low maximal activity of penicillin acylase which may be due to the loss of the amplification property. Recurrent of the amplification property was succeeded by joining penicillin acylase gene fragment tailored from pCR₂₈ with the large fragment of DNA prepared from pSY343 in which, the Kanamycin resistance gene was previously cut. This new constructed plasmid was named pCR₂₉ which later was identified as a 11.5 Kb plasmid DNA. Transformation of pCR₂₉ into E.coli BD817 rendered a group of new transformants, from which one strain so-called W21 was selected to study the role of pCR₂₉ plasmid DNA towards the production of the penicillin acylase. The W21 strain gave a maximal activity of



penicillin acylase of 500 nmolePABA per min. per mg. protein. This value was 21 folds higher than that obtained from the original strain ATCC 11105 when compared under an identical condition.

Due to the presence of the run away replication resided in pCR₂₉ plasmid DNA, it, therefore, offered an advantage to a screening method designed based on the principle of a sibling selection for a strain of higher copy plasmid number. After two successive sibling selections, strains so called X25 and Y324 were isolated and identified as strains having the same type of plasmid but of different levels of penicillin G resistance. The maximal activities of penicillin acylase detected from strains X25 and Y324 were 810 and 1111 nmole PABA per min. per mg. protein, respectively. The highest activity found in Y324 was 48 folds higher than that from the ATCC 11105 when compared under an identical condition.

In addition, a supplementation of 0.02% Phenyl acetic acid (PAA) plus 1 mM MgCl₂ into the LB medium resulted in an induction and the two-fold increase in the activity of penicillin acylase. Furthermore, when the cells were starved under an appropriate condition for a duration of 4 hours, the enzyme production was found increase to 2 folds.

Finally, means to enhance the total activity of pennicilin acylase was established that concentrating cell turbidity after amplification to a total of 400 KU prior to shifting temperature from 37°C. to 30°C. provided a maximal turbidity of 600 KU whereas the maximal activity of the enzyme was detected in cells grown under that heavy turbidity was still maintained at a high value.



กิตติกรรมประกาศ

ข้าพเจ้าขอกราบขอบพระคุณรองศาสตราจารย์ ดร. ไพเราะ ทัพพีคัมน์ ที่ได้กรุณาเป็นที่ปรึกษาให้คำแนะนำ แนวความคิด ความเข้าใจ และคำสั่งสอนอันมีค่ายิ่งต่อข้าพเจ้าตลอดมา

ขอกราบขอบพระคุณรองศาสตราจารย์ ดร. สัณห์ พงษ์ขยกุล และผู้ช่วยศาสตราจารย์ ดร. ศิริพร สิทธิประณีต ที่ได้กรุณาให้คำแนะนำ แนวความคิดและความเข้าใจต่อข้าพเจ้ามาโดยตลอด รวมทั้งกรุณารับเป็นกรรมการสอบวิทยานิพนธ์

ขอกราบขอบพระคุณ อาจารย์วีรณิชา ช่างวิวรรธน์ และรองศาสตราจารย์ ดร. ไพเราะ ปิ่นพาณิชการ ที่ได้กรุณารับเป็นกรรมการสอบวิทยานิพนธ์

ขอกราบขอบพระคุณรองศาสตราจารย์ ดร. จรียา บุญญวัฒน์ และคณาจารย์ภาควิชาชีวเคมี ที่ได้กรุณาเอื้อเฟื้อสถานที่ เครื่องมือ ตลอดจนคำแนะนำ ต่อข้าพเจ้ามาโดยตลอด

ขอขอบคุณนางสาวจรรยา เงินประเสริฐศิริที่ได้กรุณาให้ลายพินัย Q69 และ S5 มาเพื่องานวิจัยนี้

ขอขอบคุณบัณฑิตวิทยาลัยที่กรุณาให้เงินทุนวิจัย

ขอขอบคุณหน่วยปฏิบัติการวิจัยหัตถวิศวะกรรม ที่ได้ให้เงินทุนสนับสนุนงานวิจัยมาโดยตลอด ทั้งยังให้เงินทุนในการปฏิบัติงานวิจัย แก่ข้าพเจ้าอีกด้วย

ขอขอบคุณ คุณ อรพินท์ บุญยพรรค ที่ได้ช่วยพิมพ์วิทยานิพนธ์เล่มนี้จนเสร็จสมบูรณ์ตลอดจนพี่ เพื่อน น้อง ที่มีส่วนช่วยให้งานวิจัยนี้สำเร็จลุล่วงไปได้ด้วยดี

และขอขอบคุณอย่างที่สุดต่อครอบครัวอันเป็นที่รักของข้าพเจ้า ที่ได้ให้ทุก ๆ สิ่งอันประมาธค่ามิได้ ซึ่งล้วนแล้วแต่เป็น "พลัง" ให้ข้าพเจ้ามาโดยตลอด



สารบัญ

	หน้า
บทคัดย่อภาษาไทย.....	ง
บทคัดย่อภาษาอังกฤษ.....	ฉ
กิตติกรรมประกาศ.....	ช
สารบัญ.....	ณ
สารบัญตาราง.....	ญ
สารบัญรูป.....	ฉ
คำย่อ.....	ณ
บทที่.....	
1. บทนำ.....	1
2. วิธีการทดลอง.....	17
2.1 วัสดุและเคมีภัณฑ์.....	18
2.2 แบคทีเรียที่ใช้ในการทดลอง.....	19
2.3 การเก็บรักษาแบคทีเรีย.....	20
2.4 การเตรียมอาหารเลี้ยงแบคทีเรีย.....	20
2.5 การเลี้ยงและการติดตามการเจริญ.....	22
2.6 เอนไซม์ที่ใช้ในการทดลอง.....	23
2.7 ดีเอ็นเอที่ใช้ในการทดลอง.....	25
2.8 การเก็บรักษาดีเอ็นเอ.....	26
2.9 การเตรียมลาร์ละลาย.....	27
2.10 การสกัดและทำดีเอ็นเอจาก Bacteriophage λ CI857S7 ให้บริสุทธิ์.....	29
2.11 การสกัดพลาสมิดดีเอ็นเอ.....	30
2.12 การวัดปริมาณดีเอ็นเอ.....	30

สารบัญ (ต่อ)

	หน้า
2.13 การทำดีเอ็นเอให้บริสุทธิ์โดยใช้กระดาษ DEAE-cellulose บนแผ่นอะกาโรสเจล อิเล็กโตรโฟเรซิส.....	31
2.14 การตรวจขนาดของพลาสมิดดีเอ็นเอโดยการทำให้แตกขณะอิเล็กโตรโฟเรซิส.....	32
2.15 การหาแผนผังเรลตรีกซ์ของพลาสมิดดีเอ็นเอ.....	33
2.16 การสร้าง Deletion mutant.....	34
2.17 การเลือกสายพันธุ์ที่ขยายจำนวนของพลาสมิดดีเอ็นเอโดยวิธี Sibling.....	35
2.18 การตรวจสอบแอกติวิตีเบื้องต้นของเอนไซม์เพนนิซิลิน เอซีเลส ของโคโลนีในจานเพาะเชื้อโดยวิธี Microbiological test.....	35
2.19 การวัดแอกติวิตีของเอนไซม์เพนนิซิลิน เอซีเลส.....	36
2.20 การตรวจสอบแอกติวิตีเบื้องต้นของเอนไซม์ ปีตา-แลคตาเมส ของโคโลนีในจานเพาะเชื้อ โดยวิธี Microiodometric test.....	36
2.21 การหาปริมาณโปรตีนโดยวิธี Lowry.....	37
2.22 การ Starvation	37
3. ผลการทดลอง.....	
3.1 ปัญหาเกี่ยวกับความเสถียรและแอกติวิตีของเอนไซม์ เพนนิซิลิน เอซีเลส จากแบคทีเรียสายพันธุ์ Q69 และ S5.....	38
3.2 ปัญหาเกี่ยวกับการสร้าง deletion mutant.....	43
3.3 การเพิ่มผลผลิตของเอนไซม์เพนนิซิลิน เอซีเลส โดยการปรับปรุงพลาสมิดดีเอ็นเอ pCR ₂₈	44

สารบัญ (ต่อ)

	หน้า
3.4 สัมบัติของ W21.....	57
3.5 การเลือกสายพันธุ์ที่มีความสามารถในการเพิ่มจำนวน พลาสมิดดีเอ็นเอ เพิ่มขึ้นโดยวิธี Sibling selection.....	72
3.6 เปรียบเทียบสมบัติของ VU 1/9, W21, X25 และ Y324.....	75
4. วิเคราะห์และสรุปผลการวิจัย.....	86
เอกสารอ้างอิง.....	94
ภาคผนวก.....	
1. กราฟมาตรฐานสำหรับหาปริมาณ PABA ซึ่งได้จากการวัดแอกติวิตี ของเอนไซม์ เพนนิซิลิน เอซีเลสโดยวิธีของ Szewezuk.....	100
2. กราฟมาตรฐานสำหรับหาปริมาณโปรตีนโดยวิธีลอร์.....	101
3. กราฟมาตรฐานสำหรับหาปริมาณโปรตีนโดยวิธีลอร์ เทียบกับความ เข้มข้นของคัลเจอร์.....	102
4. กราฟมาตรฐานความสัมพันธ์ของความขุ่น (KU) กับการดูดกลืน แสงที่ความยาวคลื่น 550 nm.....	103

สารบัญตาราง

ตารางที่	หน้า
1. แบคทีเรียสายพันธุ์ต่าง ๆ ที่ใช้ในการทดลอง.....	19
2. เอนไซม์เรลตริกซัน.....	23
3. บัฟเฟอร์สำหรับเอนไซม์ เรลตริกซัน.....	24
4. จำนวนทรานสเฟอร์แมนท์ที่ได้จากการทรานสเฟอร์พลาสมิดีเอนเอที่ผ่านการย่อยด้วย S1 nuclease ในปริมาณต่าง ๆ.....	48
5. บัลลัสที่เสริมในอาหารซึ่งมีผลต่อแอกติวิตีของเอนไซม์ เพนนิซิลิน เอซีเลส จาก W21.....	60
6. เปรียบเทียบแอกติวิตีของเอนไซม์ เพนนิซิลิน เอซีเลส ระหว่างเซลล์เจอร์กมิได้ starve และที่ starve 4 ชม. ของ W21.....	63
7. ผลการแปรอัตราส่วนระหว่าง PAA/Pen G ในการทำ starvation ของ W21.....	64
8. การปรับสภาวะการเจริญของ W21 เพื่อการเพิ่มแอกติวิตีของเอนไซม์ เพนนิซิลิน เอซีเลส.....	71
9. แสดง Doubling time และแอกติวิตีของเอนไซม์ เพนนิซิลิน เอซีเลส เมื่อเจริญ W21, X25 และ Y324 ในอาหารที่เสริมเพนนิซิลิน ส ปริมาณต่าง ๆ.....	81
10. สภาวะการเจริญของ W21, X25 และ Y324 เมื่อเพิ่มแอกติวิตีของเอนไซม์ของ เพนนิซิลิน เอซีเลส.....	82
11. เปรียบเทียบจำนวนเท่า (fold) ของแอกติวิตี ของเอนไซม์เพนนิซิลิน เอซีเลส จากแหล่งต่าง ๆ.....	83

สารบัญรูป

รูปที่	หน้า
1. ปฏิกิริยาของเอนไซม์เพนนิซิลิน เอซีเลสและเอนไซม์ปีต้า -แลคตาเมส.....	2
2. แสดงโครงสร้างของเพนนิซิลิน.....	3
3. แสดงแผนผังเรลัทริกซัน และการถอดรหัสของยีนเพนนิซิลิน เอซีเลสจาก pHM 12 ซึ่งสร้างขึ้นโดย Bruns และคณะ.....	7
4. สัมมุติฐานของการนำสาย Proprotein ผ่านผนังเซลล์ขึ้นในเข้าสู่ส่วน periplasm ของผนังเซลล์โดยการนำของ leader peptide.....	9
5. สัมมุติฐานของการตัดเอนไซม์เพนนิซิลิน เอซีเลสจาก <u>E.coli</u> ATCC 11105 อย่างเป็นขั้นตอนโดย Proteolytic enzyme.....	10
6. แผนผังเรลัทริกซันคร่าว ๆ ของ pJR ₆₉ สร้างขึ้นโดยนางสาวจรรยา เงินประเสริฐศิริ.....	12
7. ความสัมพันธ์ระหว่างการเจริญและแอกติวิตีของเอนไซม์ เพนนิซิลิน เอซีเลส ของแบคทีเรียสายพันธุ์ Q69, Q69/1, Q69/2.....	39
8. ความสัมพันธ์ระหว่างการเจริญ และแอกติวิตีของเอนไซม์ เพนนิซิลิน เอซีเลส แบคทีเรียสายพันธุ์ S5/1, S5/2 และ S5/3.....	41
9. ชิ้นส่วนของพลาสมิดดีเอ็นเอ pJR ₆₉ หลังจากย่อยด้วยเอนไซม์ เรลัทริกซัน ชนิดต่าง ๆ.....	45
10. แผนผังเรลัทริกซันของพลาสมิดดีเอ็นเอ pJR ₆₉	46
11. ชิ้นส่วนของพลาสมิดดีเอ็นเอ pJR ₆₉ ที่ถูกย่อยด้วย EcoRI และติดตามด้วย S1 nuclease ปรเภทต่าง ๆ.....	47

สารบัญรูป (ต่อ)

รูปที่	หน้า	
12.1	เปรียบเทียบแอกติวิตีของเอนไซม์เพนนิซิลิน เอซีเลสส์ของทรานส์ฟอร์แมนท์ที่แยกได้ ทำการทดลองตามวิธีการทดลองข้อ 2.18 ยกเว้นแต่ว่าอาหารที่ใช้เจริญทรานส์ฟอร์แมนท์ คือ LB และปริมาณของเพนนิซิลินที่ใช้วัดหาคือ 10 มก.ต่อมล.....	50
12.2	เปรียบเทียบแอกติวิตีของเพนนิซิลิน เอซีเลสส์ของทรานส์ฟอร์แมนท์ที่แยกได้ ทำการทดลองตามวิธีการทดลองข้อ 2.18 ยกเว้นแต่ว่าปริมาณของเพนนิซิลินที่ใช้วัดหาคือ 1 มก.ต่อมล.....	51
12.3	เปรียบเทียบแอกติวิตีของเอนไซม์เพนนิซิลิน เอซีเลสส์ ของทรานส์ฟอร์แมนท์ ที่แยกได้โดยทำการทดลองตามวิธีทดลองข้อ 1.18 ยกเว้นแต่ว่าปริมาณของ เพนนิซิลินที่ใช้วัดหาคือ 10 มก.ต่อมล.....	52
13.	ขนาดพลาสมิดดีเอ็นเอ pCR ₂₈ สกัดจาก VU 1/9 และ pCR ₂₉ สกัดจาก V 1/7.....	53
14.	แผนผังเรสตริกชันของ pCR ₂₈ เมื่อย่อยด้วยเอนไซม์เรสตริกชันต่าง ๆ.....	55
15.	แผนผังเรสตริกชันของพลาสมิดดีเอ็นเอ pCR ₂₈ ที่สกัดจาก pCR ₂₉	56
16.	ชิ้นส่วน Hind III, Bgl II จาก pCR ₂₈ Hind III, Bam HI จาก pSY343 และพลาสมิดดีเอ็นเอ pCR ₂₉	58
17.	ผลของเวลาที่ใช้ Starve เซลล์ต่อแอกติวิตีของเอนไซม์ เพนนิซิลิน เอซีเลสส์ ของ W21.....	61
18.	ปริมาณพลาสมิดดีเอ็นเอ pCR ₂₉ สกัดจาก W21 ภายหลังจากการเจริญที่ 37 °C ในเวลาต่างกัน.....	65

สารบัญรูป (ต่อ)

รูปที่	หน้า
19. ความสัมพันธ์ระหว่างเวลาที่ไ้ขยายจำนวนชุดของพลาสมิดดีเอ็นเอ กับแอกติวิตีของ เอนไซม์เพนนิซิลิน เอซีเลสส์ของ W21.....	66
20. รูปแบบความสัมพันธ์ของความขุ่นของเซลล์ และแอกติวิตีของเอนไซม์เพนนิซิลิน เอซีเลสส์ ของ W21.....	69
21. รูปแบบความสัมพันธ์ของความขุ่นของเซลล์ และแอกติวิตีของเอนไซม์เพนนิซิลิน เอซีเลสส์ของ X25.....	73
22. เปรียบเทียบแอกติวิตีของเอนไซม์ เพนนิซิลิน เอซีเลสส์ ของสายพันธุ์ต่าง ๆ โดยทำการทดลองตามวิธีทดลองข้อ 2.18 ยกเว้นแต่ว่าเพิ่ม ... ปริมาณ เพนนิซิลินสีในอาหารที่ไ้เจริญเซลล์เป็น 300 ไมโครกรัม/มล. และปริมาณของเพนนิซิลินสีที่ไ้แทรกหับคือ 10 มก.ต่อมล.....	76
23. รูปแบบความสัมพันธ์ของความขุ่นของเซลล์เมื่อเจริญในอาหารที่เสริมเพนนิซิลินสี ปริมาณต่าง ๆ ของ W21	77
24. รูปแบบความสัมพันธ์ของความขุ่นของเซลล์เมื่อเจริญในอาหารที่เสริมเพนนิซิลินสี ปริมาณต่าง ๆ ของ X25.....	78
25. รูปแบบความสัมพันธ์ของความขุ่นของเซลล์ เมื่อเจริญในอาหารที่เสริมเพนนิซิลินสี ปริมาณต่าง ๆ ของ Y324	79
26. แสดงการสร้างพลาสมิดดีเอ็นเอ pJR ₆₉ , pCR ₂₈ และ pCR ₂₉	88



คำย่อ

6-APA	=	6-Aminopenicillanic acid
ATCC	=	American Type Culture Collection
ATP	=	Adenosine - 5' - triphosphate
bp	=	base pair
BSA	=	Bovine serum albumin
c-AMP	=	Cyclic adenosine monophosphate
CHCl ₃	=	Chloroform
CsCl	=	Cesium chloride
°ซ	=	องศา เซลเซียส
d	=	dalton
DNA	=	Deoxyribonucleic acid
DNase	=	Deoxyribonuclease
DMSO	=	Dimethyl sulfoxide
EDTA	=	Ethylene diamine tetraacetic acid
g	=	gram
HCl	=	Hydrochloric acid
hr	=	hour
kb	=	kilobase pair (10 ³ base pair)
Km ^r	=	Kanamycin resistance
KU	=	klett unit
M	=	molar
min.	=	minute
Md	=	megadalton (10 ⁶ dalton)
μg	=	microgram (10 ⁻⁶ gram)
μl	=	microlitre (10 ⁻⁶ litre)
ml	=	millilitre (10 ⁻³ litre)
mM	=	millimolar (10 ⁻³ molar)

คำย่อ (ต่อ)

μ mole	=	micromole (10^{-6} mole)
ng	=	nanogram (10^{-9} gram)
nm	=	nanometer (10^{-9} meter)
nmole	=	nanomole (10^{-9} mole)
NTG	=	N-methyl-N'-nitro-N-nigrosoguanidine
O.D.	=	optical density
PAase	=	Penicillin acylase
PAA	=	Phenylacetic acid
PAAB	=	Phenyl acetyl-4-aminobenzoic acid
PABA	=	p-Aminobenzoic acid
Pen G	=	Penicillin G
Pen G ^r	=	Penicillin G resistance
<u>rec</u> A	=	Recombination
RNA	=	Ribonucleic acid
RNase	=	Ribonuclease
SDS	=	Sodium dodecyl sulfate
sec	=	second
Tris	=	Tris (hydroxymethyl) aminomethane
UV	=	Ultraviolet